

اثر وزن مولکولی کیتوسان بر مقدار آزادسازی داروی پردنیزولون سدیم فسفات از ریزگویهای کیتوسان

تهیه شده با خشک کن افشناء ای*

The Effect of Chitosan Molecular Weight on the Rate of Drug Release of Prednisolone Sodium Phosphate from Chitosan Microspheres Prepared by Spray Dryer

حمید مهدوی^{*}، سید مجتبی تقی زاده، هوری میوه چی، فرزانه احمد خان بیگی

تهران، پژوهشگاه پلیمر و پتروشیمی ایران، پژوهشکده علوم، گروه سامانه‌های نوین دارو رسانی، صندوق پستی ۱۴۹۶۵/۱۱۵

دریافت: ۸۴/۹/۸، پذیرش: ۸۴/۱۰/۲۰

چکیده

در این پژوهش، ریزگویهای کیتوسان با وزن مولکولی متفاوت با استفاده از خشک کن افشناء ای تهیه شدند. شکل شناسی، توزیع اندازه ذرات، مقدار آزادسازی داروی پردنیزولون به عنوان داروی مدل و بر هم کنشهای دارو با پلیمر به وسیله میکروسکوپ الکترون پویشی، پراکنده نور لیزر، دیفوژیون سل و گرماسنجی پویشی تفاضلی مطالعه شد. نتایج نشان می‌دهد که شکل ذرات بدست آمده کاملاً کروی با سطحی چروک خورده است. اندازه ریزگویهای کیتوسان با وزن مولکولی زیاد بزرگتر از ذرات با وزن مولکولی کم است. متوسط اندازه ذرات ریزگویهای افزایش وزن مولکولی از $\frac{1}{2}$ به ۱/۳ به ۹ افزایش یافته است که این موضوع رامی توان به افزایش گرانوی محلول کیتوسان با وزن مولکولی زیاد نسبت داد. سرعت آزادسازی داروی پردنیزولون سدیم فسفات از ریزگویهای حاصل از کیتوسان با وزن مولکولی زیاد به دلیل ساختار متراکم و زیاد بودن گرانوی محلول آنها کمتر از ریزگویهای حاصل از کیتوسان با وزن مولکولی کم است. همچنین، نتایج بدست آمده از گرماسنجی پویشی تفاضلی نشان دهنده بر هم کنشهای گروههای فسفات از دارو با گروههای آمین پلیمر کیتوسان است.

واژه‌های کلیدی

کیتوسان، ریزگویی، خشک کن افشناء ای، پردنیزولون سدیم فسفات، آزادسازی کنترل شده

مقدمه

جایگاه ویژه‌ای در سامانه‌های نوین دارو رسانی پیدا کرده است.

برخی از پژوهشگران نشان داده‌اند که ذرات در مقیاس نانو و میکرو تمایل شدیدی به تجمع در مناطق النهابی دارند.^[۱-۳] همچنین، پژوهشگران به روش‌های مختلف، ریزگویهای کیتوسان را به

کیتوسان کوپلیمری است که از پوسته خرچنگ و میگو بدست می‌آید. این کوپلیمر متشکل از واحدهای N-استیل گلوکوز آمین و گلوکوز آمین است که در ساختار انسان داده شده است. کیتوسان با داشتن خواص عالی همچون زیست سازگاری زیاد و توانایی تخریب آنزیمی

Key Words

chitosan, microsphere, spray dryer, prednisolone sodium phosphate, controlled release

* مسئول مکاتبات، پیام نگار: h.mahdavi@ippi.ac.ir

** بخشی از مطالب این مقاله در سمینار بین المللی علوم و تکنولوژی پلیمر ISPST ۲۰۰۵ ارائه شده است.

دالتون) به ترتیب با درجه استیل زدایی ۶۵ و ۶۱ درصد ساخت شرکت Fluka، استیک اسید محصول شرکت Merck ساخت آلمان و پردنیزولون سدیم فسفات از شرکت Sina Pharm ساخت آلمان استفاده شد.

دستگاهها

در این پژوهش، برای تهیه ریزگویهای کیتوسان، شکل شناسی، توزیع اندازه ذرات بدست آمده و مقدار آزادسازی دارو به ترتیب از دستگاههای خشک کن افشنانه ای ساخت شرکت Buchi مدل B191 آلمان، میکروسکوپ الکترون پویشی ساخت شرکت Cambridge مدل ۴۳۶۰، پراکنده‌گی نور لیزری ساخت شرکت Sematech فرانسه، دیفوژیون سل Side-Bi-Side Cells ساخت شرکت Perme Gear آمریکا استفاده شد. همچنین، طیف سنج فرابنفش ساخت شرکت Genesys آمریکا و گرماسنچ پویشی تفاضلی ساخت شرکت Polymer Lab و گرانزوی سنج Ubbelohde مدل ۲C به کار گرفته شد.

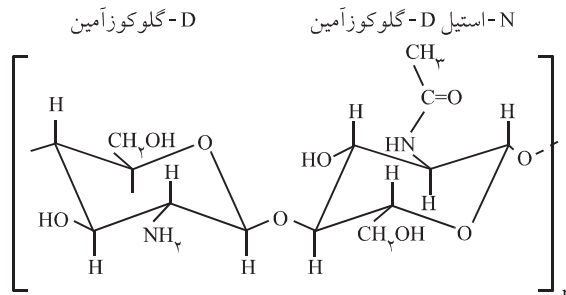
روشها

تهیه ریزگویهای کیتوسان

آزمونهای اولیه برای تعیین غلظت بهینه کیتوسان برای ایجاد ریزگویهای مناسب از نظر عدم کلوخه شدن و خیس بودن ذرات انجام شد. به همین منظور به محلول آبی دارای ۲ درصد وزنی حجمی استیک اسید به ترتیب ۰/۵، ۰/۱ و ۰/۲ درصد کیتوسان با وزن مولکولی زیاد و کم اضافه شد. در همه فرمولیندیها پردنیزولون سدیم فسفات به عنوان داروی مدل با غلظت ۰/۱ درصد وزنی حجمی نیز در استیک اسید ۲ درصد استفاده شد. فرمولیندیهای تهیه شده در دستگاه خشک کن قرار گرفت و در شرایط تجربی شامل افشدند: ۱۰۰ درصد، دمای داخلی: ۱۵۰°C، جریان هوای پاششی: ۸۰۰ bar و فشار: ۷۲ m³/min ریزگویهای کیتوسان بدست آمد.

در شرایطی غیر از موارد ذکر شده مشکلاتی از قبیل مسدود شدن افشانک، خشک نشدن ذرات بدست آمده و در نهایت نامناسب بودن شکل شناسی ذرات ایجاد می‌شود.

در درصدهای زیاد کیتوسان (۰/۵ درصد وزنی حجمی) گرانزوی به حدی بود که عمل افشدند با مشکل روپرتو می‌شد. همچنین، در درصدهای کم کیتوسان (۰/۱ درصد وزنی حجمی) با کاهش گرانزوی ریزگویهای خیس و آبدار و بازده کم در محافظه بدست می‌آمد. اما، غلظت ۰/۱ درصد کیتوسان در هر دو وزن مولکولی گرانزوی مناسبی برای افشدند داشت. در این درصد ریزگویهای خشک و بازده مناسب بدست آمد (جدول ۱).



ساختار ۱ ساختار شیمیایی کیتوسان.

عنوان حاملهای دارویی تهیه کرده‌اند. از آن جمله می‌توان به ریزگویهای کیتوسان تهیه شده به وسیله عامل شبکه‌ای کننده گلوتارآلدهید همراه با روش امولسیون اشاره کرد [۴-۶].

روشهای دیگر همچون روش امولسیون/تبخیر حلال و استفاده از دستگاه خشک کن افشنانه‌ای برای تهیه ریزگویهای کیتوسان استفاده شده است [۷-۸]. کولیت اولسر و بیماری روده‌ای است که منجر به التهاب و زخم شدن روده می‌شود و داروهای کورتیکواستروییدی همچون پردنیزولون از تجمع سلولهای التهابی در ناحیه التهاب جلوگیری کرده، با مهار فاگوسیتوز و ساخت و آزاد شدن واسطه‌های شیمیایی التهاب، اثرات ضد التهابی خود را اعمال می‌کنند. به همین دلیل، پژوهش‌های گسترش‌ای در استفاده از ریز ذرات برای هدفمند کردن کورتیکواستروییدها که به شکل عمومی برای درمان ضایعات التهابی کولیت اولسر و استفاده می‌شوند، انجام گرفته است.

اگرچه پژوهشگرانی همچون برتهلد و همکارانش [۹] توانستند ریزگویهای کیتوسان دارای داروی پردنیزولون را با روش رسوب دهی بدست آورند. ولی، روش خشک کن افشنانه‌ای به دلایل متعددی همچون توانایی تولید پیوسته ریزگویهای سرعت زیاد تولید و آسان بودن فرایند، کاربرد فراوانی در صنایع شیمیایی همچون سرامیکها، مواد شیمیایی آلی، رزینهای پلیمری، داروسازی و عوامل زیستی پیدا کرده‌اند [۱۰، ۱۱].

اطلاعات موجود نشان می‌دهد که تهیه ریزگویهای کیتوسان دارای داروی پردنیزولون با استفاده از دستگاه خشک کن افشنانه‌ای تاکنون گزارش نشده است. در این مقاله ریزگویهای کیتوسان با بهینه سازی شرایط دما، سرعت پاشش و فشار برای دو وزن مولکولی متفاوت با استفاده از دستگاه خشک کن افشنانه‌ای تهیه و اثر وزن مولکولی بر اندازه ذرات، توزیع اندازه ذرات و رفتار آزادسازی دارو بررسی شد.

تجربی

مواد

در این پژوهش، از کیتوسان با وزن مولکولی متفاوت (۱۵۰۰۰۰ و ۶۰۰۰۰۰

جدول ۱ بررسی مقدار غلظت کیتوسان بر چگونگی تشکیل ریزگویهای کیتوسان.

فرمولیندی	کیتوسان با غلظت ۰/۵ درصد وزنی/حجمی	کیتوسان با غلظت ۱ درصد وزنی/حجمی	کیتوسان با غلظت ۲ درصد وزنی/حجمی
ریزگویهای مناسب از نظر خشک بودن و عدم کلوخه شدن	خشک	ذرات کروی خشک بدون کلوخه شدن	کلوخه‌ای شدن ذرات (عمل افشاراندن به سختی انجام می‌شود)

گرانروی سنجی

گرانروی ذاتی پلیمر با استفاده از گرانروی سنج و متوسط وزن مولکولی براساس رابطه بین ضرایب ثابت مارک - هوونیک مطابق معادله (۳) بدست آمد:

$$[\eta] = KM^\alpha \quad (3)$$

که در آن، $[\eta]$ گرانروی ذاتی، k و α در سامانه حلال $\text{CH}_3\text{COOH} / ۰/۰\text{M NaCl}$ و در دمای ۲۵°C به ترتیب $۱۰^{-۳} \times ۱/۸۱$ و $۰/۲\text{M}$ متوسط حجمی وزن مولکولی پلیمر را نشان می‌دهد [۱۲].

خواص گرمایی

برای تجزیه گرمایی نمونه‌ها (ریزگویهای بدون دارو، پر دیزولون سدیم فسفات و مخلوط ریزگویها - دارو) از دستگاه گرماسنج پویشی تفاضلی استفاده شد. محدوده دمایی آزمایش $۱۵۰-۴۰۰^\circ\text{C}$ و سرعت گرمادهی $۱۰^\circ\text{C}/\text{min}$ انتخاب شد.

آزادسازی دارو

مقدار آزادسازی دارو از ریزگویهای کیتوسان به وسیله دستگاه دیفوژیون سل بررسی شد. در این دستگاه برای جدا سازی دو محفظه از غشای دیالیزی سلولوز استات با محدوده وزن مولکولی $۱۴۰۰۰-۱۲۰۰۰$ استفاده شد. این غشا قبل از استفاده به مدت ۲ h شستشو داده شد. با توجه به آنکه pH محیط زیستی بدن بین $۷/۴$ تا $۷/۶$ است. بنابراین، محیط آزادسازی انتخاب شده برای این آزمون، فسفات بافر سالین $M/۰/۲$ با $pH=۷/۲$ بود. $۰/۰۳\text{ g}$ از ریزگویهای کیتوسان در ۳ mL فسفات بافر سالین در یک طرف دستگاه دیفوژیون سل قرار داده شد (لازم به ذکر است که حداکثر حجم محفظه دیفوژیون سل ۳ mL بود). طرف دیگر دستگاه (محفظه دریافت کننده) با ۳ mL از فسفات بافر سالین پر شد. در فواصل زمانی مورد نظر ۳ mL از محفوظه دریافت کننده را برداشت، با ۳ mL بافر جدید جایگزین

روش شکل شناسی

برای تعیین توزیع اندازه ذرات ابتدا $۰/۰۵\text{ g}$ از ذرات در ۳ mL آب مقطر پخش شد و پس از آن توزیع اندازه ذرات به وسیله دستگاه پراکنده‌گی نور لیزری در زاویه پراکنده‌گی ۹۰° و دمای ۲۸°C بدست آمد. همچنین شکل، اندازه و سطح ذرات بدست آمده با استفاده از دستگاه میکروسکوپ الکترون پویشی مطالعه و بررسی شد. به همین منظور ریزگویهای بدست آمده به وسیله طلا و با ضخامت $۵۰۰\times ۱۰^{-۸}\text{ cm}$ پوشش داده شد و در خال‌زیاد شکل شناسی ذرات انجام گرفت.

بازده ریزگویها

بازده ریزگویها با استفاده از معادله (۱) بدست می‌آید. در این معادله بازده از تقسیم وزن ریزگویهای بدست آمده از دستگاه خشک کن افشاره ای به وزن پلیمر اولیه و دارو محاسبه می‌شود:

$$(1) \quad w_p + w_d = w_w / (w_w + w_t) = \text{بازده ریزگویها}$$

در این معادله w_w وزن ریزگویهای بدست آمده از دستگاه خشک کن افشاره ای، w_p وزن پلیمر اولیه، w_d وزن دارو و w_t مجموع وزن پلیمر اولیه و وزن داروست.

بازده بارگذاری دارو

در این آزمایش ۴۰ mg از ذرات دارای دارو به ۹۰ mL فسفات بافر سالین اضافه، به مدت ۱۵ min در تابش فرا صوت قرار داده شد. پس از ۴۸ h به کمک سانتریفیوژ با سرعت ۳۰۰۰ rpm و به مدت ۱۵ min ذرات جدا و مقدار داروی آزاد شده در مایع بالایی به وسیله اندازه‌گیری جذب فرابنفش در ۲۴۲ nm محاسبه شد. بازده داروی بارگذاری شده از معادله (۲) بدست می‌آید:

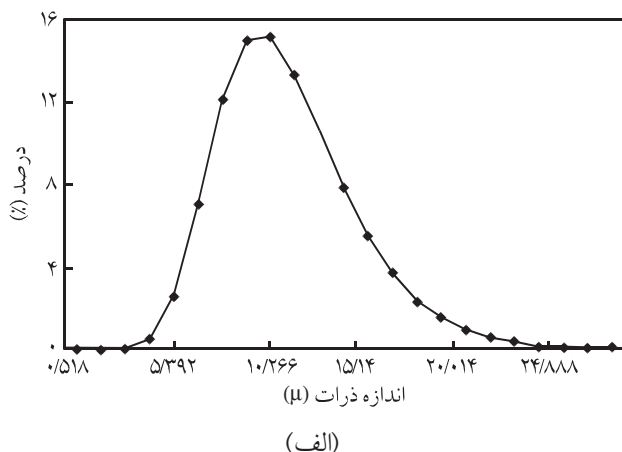
$$(2) \quad \frac{\text{غلظت داروی محاسبه شده}}{\text{غلظت داروی اولیه بارگذاری شده}} = \frac{\text{بازده داروی بارگذاری شده}}{\text{بازده داروی اولیه بارگذاری شده}}$$

کیتوسان با وزن مولکولی کم از نظر اندازه، کوچکتر از ذرات کیتوسان با وزن مولکولی زیاد است. همچنین، نتایج بدست آمده از دستگاه پراکندگی نور لیزری نشان دهنده کاهش میانگین اندازه ذرات با کاهش وزن مولکولی است. به طوری که با کاهش وزن مولکولی از 600000 به 150000 دالتون میانگین اندازه ذرات از 9μ به $7/8 \mu$ کاهش یافته است (شکل ۲ و جدول ۲). دلیل کاهش اندازه ذرات بدست آمده از این روش را می توان به وسیله معادله کیم - مارشال و مارک - هووینک بررسی کرد.

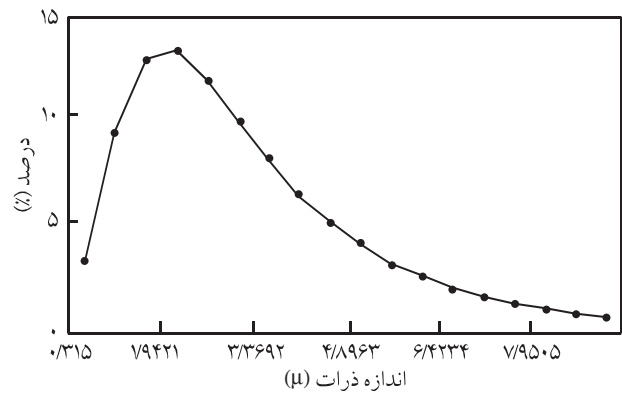
(معادلات (۳) و (۴))

$$D_{\text{mean}} = k_1 [(\eta_1^{1/32} \sigma_1^{1/4}) / ((\rho_{\alpha V}^2)^{1/57} A_G^{1/36} \rho_1^{1/16})] + [(\mu_1^{1/2} / \rho_1 \sigma_1)^{1/17} \times (V_{\text{rel}}^{1/54}) \times ((V/M_R)^m \times k_2)] \quad (4)$$

در این معادله M_R نسبت جرمی جریان هوا به مایع، σ کشش سطحی، μ_1 گرانروی مایع، V_{rel} سرعت نسبی هوا - مایع در افشارنک، ρ_α و ρ_1



(الف)



(ب)

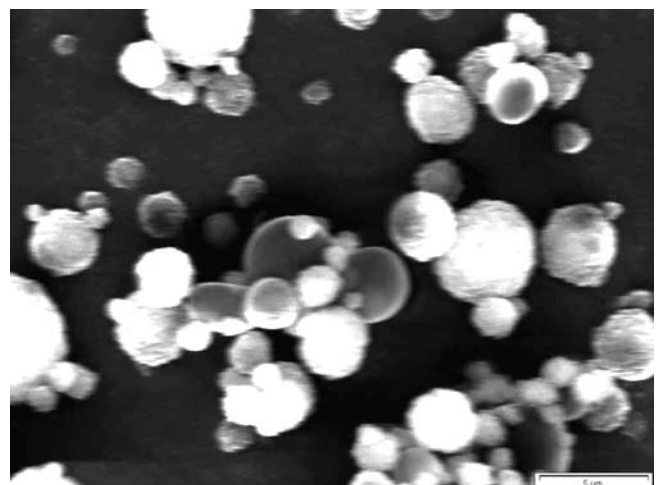
شکل ۲ توزیع اندازه ذرات ریزگویهای کیتوسان با وزنهای مولکولی متفاوت متفاوت: (الف) وزن مولکولی زیاد و (ب) وزن مولکولی کم.

می شد. مقدار جذب فرابنفش در 242 nm (طول موج حداقل برای پر دیزولون سدیم فسفات در فسفات بافر سالین $M/2$ با $\text{pH}=7/2$) خوانده شد. آزمونهای آزادسازی برای فرمولیندیهای انتخاب شده سه بار تکرار شد.

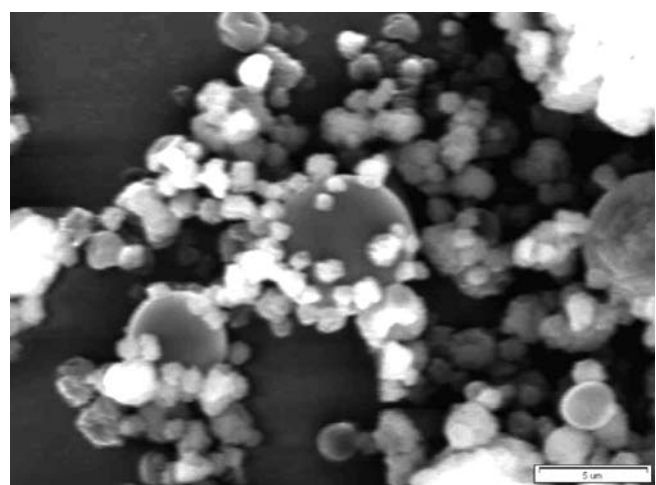
نتایج و بحث

مطالعات شکل شناسی

ریزگویهای بدست آمده با دستگاه خشک کن افشارنک ای شکل کروی با سطح چروک شده داشت. شکل ۱ نشان می دهد ذرات بدست آمده از



(الف)



(ب)

شکل ۱ شکل شناسی ریزگویهای کیتوسان با وزنهای مولکولی متفاوت (الف) وزن مولکولی زیاد و (ب) وزن مولکولی کم.

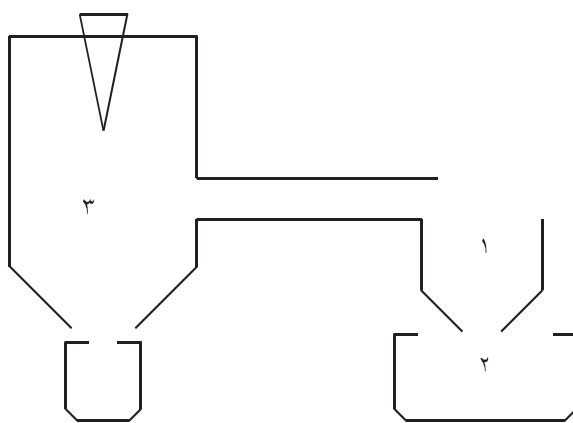
جدول ۲ گرانروی، بازده داروی بارگذاری شده از ریزگویهای دارای داروی پردنیزولون.

وزن مولکولی (Da)	داروی بارگذاری شده (w/v)	بازده داروی بارگذاری شده	گرانروی (mL/g)	متوسط اندازه ذرات (μ)	پلیمر
۱۵۰۰۰	۱	۹۲/۲±۷/۲	۲/۲۶×۱۰ ^۲	۱/۸±۲/۳	کیتوسان
۶۰۰۰۰	۱	۹۴/۳±۰/۹	۵/۵×۱۰ ^۲	۹±۱/۹	کیتوسان

جدول ۳ بازده و شرایط دستگاه خشک کن افشاره ای.

وزن مولکولی (Da)	غلظت پلیمر (w/v)	دماهی داخلی (°C)	دماهی هوا (bar)	جریان هوا (%)	بازده (%)	پلیمر
۱۵۰۰۰	۱	۱۵۰	۸۰۰	۵۱	کیتوسان	
۶۰۰۰۰	۱	۱۵۰	۸۰۰	۵۸	کیتوسان	

و کیتوسان را بررسی کردند. در این پژوهش نیز بر هم کنشها با استفاده از دستگاه گرمانسنج پویشی تفاضلی بررسی شده است. شکل ۴ گرمانگاشت DSC از ریزگویهای کیتوسان بدون دارو، ریزگویهای بارگذاری شده با دارو و پردنیزولون سدیم فسفات را نشان می دهد. برای بلورهای پردنیزولون سدیم فسفات پیکی گرمایش در 305°C دیده می شود. ریزگویهای کیتوسان بدون دارو دو پیک در 231 و 286°C نشان می دهند که مربوط به آلفا و بتا گلوکوزآمین است. همان طور که در شکل مشاهده می شود پیک مربوط به ریزگویهای بارگذاری شده با دارو به سمت راست متمایل شده (انتقال پیک از 280°C به 286°C) و این موضوع بیانگر واکنش بین گروههای آمین از کیتوسان با گروههای فسفات از



شکل ۳ نمای کلی از دستگاه خشک کن افشاره ای و مناطق تشکیل ذره:
(۱) گاهی ذرات در این قسمت و روی جداره تشکیل می شوند، (۲) محل تشکیل ذرات و (۳) منطقه ای است که ذرات با فشار زیاد در آن پاشیده می شوند.

و ρ_1 به ترتیب چگالی هوا و مایع و A_g سطح آب خارج شده از افشاره ای است.

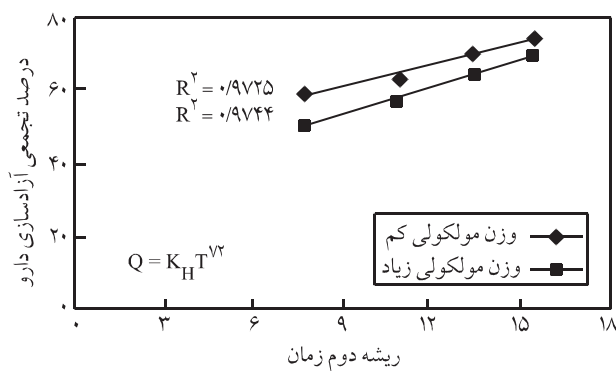
با افزایش وزن مولکولی از ۱۵۰۰۰ به ۶۰۰۰۰ دالتون، گرانروی محلول که از معادله (۳) مارک - هوینک بدست آمده (جدول ۲) از $10 \times 2/26 \times 10^2 \text{ mL/g} \times 5/5 \times 10^2$ به 150 افزایش یافته است. با توجه به آنکه گرانروی دو برابر شده است و از طرفی در معادله (۴) قطر متوسط ذرات با توان ۲ گرانروی رابطه مستقیم دارد. بنابراین، افزایش میانگین ذرات با توجه به این دو معادله قابل توجیه است.

بازده ریزگویها

چنانچه در جدول ۳ مشاهده می شود مقدار بازده ریزگویهای تهیه شده از کیتوسان با وزن مولکولی زیاد بیشتر از ریزگویهای کیتوسان با وزن مولکولی کم است. با کاهش وزن مولکولی میانگین ذرات بدست آمده نیز کاهش می یابد، همچنین، توزیع اندازه ذرات پهنتر خواهد شد. با توجه به شرایط یکسان دما، سرعت صاف کردن و فشار، ذرات با وزن مولکولی و گرانروی کم زودتر تشکیل و خشک شده، به محفظه نهایی نمی رسند بنابراین، تشکیل ذرات در منطقه ۱ باعث کاهش بازده ذرات می شود (شکل ۳). در صورتی که ذرات کیتوسان با وزن مولکولی زیاد کمتر در منطقه ۱ و بیشتر در محفظه اصلی (منطقه ۲) جمع می شوند. بنابراین، بازده ذرات با وزن مولکولی زیاد بیشتر از ذرات با وزن مولکولی کم است.

خواص گرمایی

گرمانسنجی پویشی تفاضلی روشنی است که تغییرات دارو را معین می کند [۱۴]. بر تهله و همکارانش [۹] بر هم کنشهای داروی پردنیزولون



شکل ۶ مقدار آزادسازی دارو از ریزگویهای کیتوسان بر حسب ریشه دوم زمان.

مرحله تقسیم کرد. مرحله اول آزادسازی انفجاری که در ۲۵-۳۰ min اتفاق افتاده است و طی این مرحله ۴۰ درصد از دارو از ریزگویهای کیتوسان با وزن مولکولی زیاد و ۵۵ درصد از دارو در همین مدت زمان از ریزگویهای کیتوسان با وزن مولکولی کم خارج شده است. مرحله دوم آزادسازی که در کنترل ریزگویهای متورم شده است به شکل قابل قبولی از معادله هیگوچی پیروی می کند (معادله (۵) و شکل ۶).

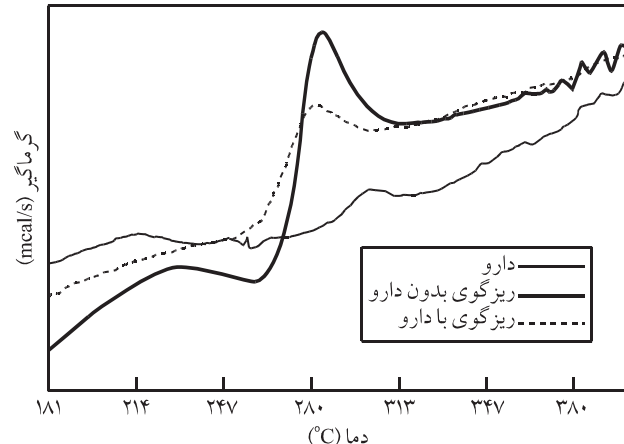
$$Q = K_H t^{7/2} \quad (5)$$

در این معادله Q درصد داروی پردنیزولون آزاد شده، K_H ثابت هیگوچی، t ریشه دوم زمان است. پس از گذشت ۴ h به علت زیاد شدن گرانزوی محفظه دارای ذرات و عدم یکنواختی گرادیان غلظت، اندازه گیری غلظت دارو در محیط آزادسازی با خطاهای تصادفی همراه و داده ها از اطمینان کافی برخوردار نبودند.

همان طور که در شکل ۵ نشان داده شده است در حالت کلی آزادسازی دارو از ریزگویهای کیتوسان با وزن مولکولی زیاد کمتر از ریزگویهای با وزن مولکولی کم است. این رفتار را می توان به دو دلیل عمده نسبت داد:

- با کاهش وزن مولکولی اندازه ذرات کم می شود و چون در این حالت نسبت سطح به حجم افزایش می یابد بدینهی است که مقدار آزادسازی از این ریزگویها بیشتر باشد.

- با افزایش وزن مولکولی گره خوردگیهای زنجیر پلیمری افزایش یافته، شبکه متراکم پلیمری ایجاد خواهد شد که از نفوذ آسان آب به داخل شبکه جلوگیری می کند بنابراین، سرعت آسایش زنجیر افزایش یافته، از رها شدن سریع دارو از این شبکه متراکم جلوگیری می کند.



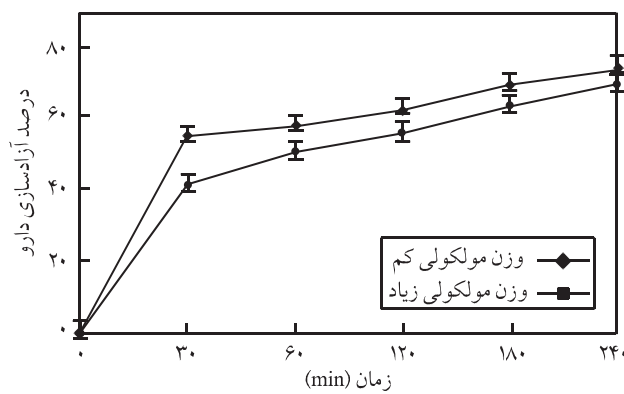
شکل ۴ گرمانگاشت DSC برای دارو، ریزگویهای بدون دارو و ریزگویهای بارگذاری شده با دارو.

داروست. از طرفی حذف یک مریبوط به دارو در ریزگویهای کیتوسان دارای دارو ممکن است به دلیل تغییر دارو از حالت بلوری به حالت بی شکل باشد که روی سطح و یا داخل ذرات قرار گرفته است.

آزادسازی دارو

جدول ۲ نشان دهنده مقدار بازده داروی بارگذاری شده است. آزادسازی دارو از ریزگویهای کیتوسان را می توان با استفاده از مدل ارائه شده توسط پیاس تفسیر کرد [۱۵-۱۷]. کیتوسان پلیمری آبدوست است که مقدار قابل توجهی آب جذب می کند. با جذب زیاد آب انتقال از حالت شیشه ای به حالت لاستیکی کیتوسان افزایش می یابد [۱۸-۲۰]. در این حالت نفوذپذیری دارو نیز افزایش خواهد یافت.

با توجه به شکل ۵ آزادسازی دارو در لوله آزمایش را می توان به دو



شکل ۵ مقدار آزادسازی دارو از ریزگویهای کیتوسان با وزنهای مولکولی متفاوت (در سه نوبت تکرار آزمایش).

اندازه ذرات بررسی شد. نتایج بدست آمده نشان می دهد که مقدار آزادسازی دارو، اندازه ذرات بدست آمده و توزیع آن تابع وزن مولکولی کیتوسان است. ریزگویهای کیتوسان با وزن مولکولی زیاد علاوه بر داشتن توزیع اندازه ذرات باریک، از آزادسازی سریع دارو جلوگیری می کنند. همچنین، بازده ریزگویهای بدست آمده از کیتوسان با وزن مولکولی زیاد بیشتر است. با توجه به نتایج حاصل به نظر می رسد بهترین فرمولبندی در شرایط ایجاد شده برای دستگاه خشک کن افشاره ای برای تولید ریزگویهای دارای داروی پردنیزولون سدیم فسفات، کیتوسان با وزن مولکولی ۷ بار است.

قدرتانی

بدین وسیله از همکاری آقایان دکتر ایمانی، دکتر جمشیدی و مهندس لاهوتی فرد قدردانی می شود.

مراجعة

1. Diepold R., Kreuter J., Guggenbuhl P. and Robinson J.R., Distribution of Poly-hexyl-2-cyano-[3-¹⁴C] Acrylate Nanoparticles in Healthy and Chronically Inflamed Rabbit Eyes, *Int. J. Pharm.*, **54**, 149-153, 1989.
2. Illum L., Wright J. and Davis S.S., Targeting of Microspheres to Sites of Inflammation, *Int. J. Pharm.*, **52**, 221-224, 1989.
3. Aplar H.O., Field W.N., Hyde R. and Lewis D.A., The Transport of Microspheres from the Gastro-intestinal Tract Inflammatory Air Pouches in the Rat, *J. Pharm. Pharmacol.*, **41**, 194-196, 1989.
4. Hassan E.E., Parish R.C. and Gallo J.M., Optimized Formulation of Magnetic Chitosan Microspheres Containing the Anti-cancer Agent Oxantrazole, *Pharmacol. Res.*, **9**, 390-397, 1992.
5. Akbuga J. and Durmaz G., Preparation and Evaluation of Cross-linked Chitosan Microspheres Containing Furosmide, *Int. J. Pharm.*, **111**, 217-222, 1994.
6. Thanoo B.C., Sunny M.C. and Jayakrishnan A., Cross-linked Chitosan Microspheres: Preparation and Evaluation as a Matrix for Controlled Release of Pharmaceuticals, *J. Pharm. Pharmacol.*, **44**, 283-286, 1992.
7. Gallo J.M. and Hassan E.E., Receptor-mediated Magnetic Carriers: Basis for Targeting, *Pharmacol. Res.*, **5**, 300-304, 1998.
8. Genta I., Pavanetto F., Conti B., Giunchedi P. and Conte U., Spray-drying for the Preparation of Chitosan Microsphere,

این نتایج قابل مقایسه با نتایجی بود که کاشاپا و همکارش [۱۰] در مورد آزادسازی داروی استامینوفن از ذرات کیتوسان با وزنهای مولکولی متفاوت بدست آورده بودند.

نتیجہ گپٹی

دستگاه خشک کن افشارهای دستگاه مناسبی برای تهیه ذرات پلیمری دارای داروست که مزایای شناخته شده فراوانی دارد، ولی انتخاب شرایط بهینه و نوع پلیمر عامل بسیار تعیین کننده‌ای است. در این پژوهش، ابتدا شرایط بهینه از نظر غلظت اولیه پلیمر معین و اثر وزن مولکولی کیتوسان بر اندازه ریزگوییهای بدست آمده از این پلیمر به دقت مطالعه شد. همچنین، اثر این عامل بر مقدار آزادسازی دارو و توزیع



Proceeding of the International Symposium on Controlled Release Bioactive Materials, **21**, 616-617, 1994.

9. Berthold A., Cremer K. and Kreuter J., Preparation and Characterization of Chitosan Microspheres as Drug Carrier for Prednisolone Sodium Phosphate as Model for Anti-inflammatory Drugs, *J. Controlled Release*, **39**, 17-25, 1996.
 10. Kashappa Goud H.D. and Hyun J.P., Preparation and Characterization of Drug-loaded Chitosan-tripolyphosphate Microspheres by Spray Drying, *Drug Develop. Res.*, **64**, 114-128, 2005.
 11. Palmieri G. F., Bonacucina G., Martino P.D. and Martelli S., Spray Drying as Method for Microparticulate Controlled Release Systems Preparation: Advantages and Limits. I. Water Soluble Drugs, *Drug Dev. Ind. Pharm.*, **27**, 195-204, 2001.
 12. Wei W., Shuqin B., Shuqin L. and Wen Q., Determination of the Mark-Houwink Equation for Chitosans with Different Degrees of Deacetylation, *Int. J. Biol. Macromol.*, **13**, 281-285, 1991.
 13. Mi F.L., Wong T.B., Shyu S.S. and Chang S.F., Chitosan Microspheres: Modification of Polymeric Chem-physical Properties of Spray-dried Microspheres to Control the Release of Antibiotic Drug, *J. Appl. Polym. Sci.*, **71**, 747-759, 1999.
 14. Hirano S., Seino H., Akiyama Y. and Nonaka I., Biocompatibility of Chitosan by Oral and Intravenous Administration, *Polym. Eng. Sci.*, **59**, 897-901, 1988.
 15. Ritger P. L. and Peppas N. A., A Simple Equation for Descrip-

- tion of Solute Release II. Fickian and Anomalous Release from Swellable Devices, *J. Controlled Release*, **5**, 37-42, 1987.
16. Peppas L.B. and Peppas N.A., Solute and Penetrant Diffusion in Swellable Polymers. IX. The Mechanisms of Drug Release from pH-Sensitive Swelling-controlled Systems, *J. Controlled Release*, **8**, 267-274, 1989.
17. Korsmeyer R.W. and Peppas N.A., Solute and Penetrant Diffusion in Swellable Polymers. III. Drug Release from Glassy P poly(HEMA-*co*-NVP) Copolymers, *J. Controlled Release*, **1**, 89-98, 1984.
18. Badiger M. V., Lele A. K., Kulkarni M. G. and Mashelkar R. A., Swelling and Phase Transitions in Deforming Polymeric Gels, *Ind. Eng. Chem. Res.*, **33**, 2426-2433, 1994.
19. Enscore D.J., Hopfenberg H.B. and Stannett V.T., Diffusion, Swelling and Consolidation in Glassy Polystyrene Microspheres, *Polym. Eng. Sci.*, **20**, 102-107, 1980.
20. Davidson W.R. and Peppas N.A., Solute and Penetrant Diffusion in Swellable Polymers, V. Relaxation-controlled Transport in P (HEMA-*co*-MMA) Copolymers, *J. Controlled Release*, **3**, 243-258, 1986.